

V-37 鉄筋コンクリート円筒体のねじり実験

前田建設工業技術研究所 正会員 内田 明
電力中央研究所 正会員 青柳 征夫
前田建設工業技術研究所 正会員 山田 一宇

1. まえがき

鉄筋コンクリート製格納容器(RCCV)は、一般に縦・横2方向に配筋されたいちが、地震力が単独あるいは事故時に発生する内圧と同時に作用した場合、RCCV円筒部に作用する主応力の方向と鉄筋の方向にずれが生じ、RCCVの面内せん断耐力からびに変形性状に大きな影響を与えるものと考えられる。

また、地震力のようは水平荷重に対しては、縦・横2方向配筋は必ずしも最適な方法とはいえない。合理的な配筋方法を検討することも必要である。

著者らは、このような観点にたって、種々の配筋を行ひた鉄筋コンクリートシェルに面内せん断力が作用した場合の力学的特性を調べるために、鉄筋コンクリート円筒体のねじりと内圧を組み合せた一連の実験を実施した。

本報告は、これららの実験のうち面内せん断力のみが作用した場合について配筋方法が円筒モデルの力学的性状に及ぼす影響を検討したものである。

2. 実験方法

実験に用いた試験体の形状寸法は図-1に示すとおりで、高さ2000 mm、壁厚100 mm、中心半径750 mmの円筒部上下に固定用からびにねじりモーメント載荷用のスタブを有したものである。実験に供した試験体は全部で4体であり、縦・横2方向、正三角形および縦・横+斜45°の3種類の配筋方法を考えた。鉄筋比は、縦・横2方向配筋に対し2 1.18%、1.80%とし、他の配筋方法に対しては単位体積当りの鉄筋量が縦・横2方向配筋の1.18%と同量にすることように定めた。全試験体の諸元および使用した材料の機械的性質を主な実験結果とともに表-1に示す。鉄筋には、Dø10 (SD35)を用ひ、図-1 試験体の形状寸法

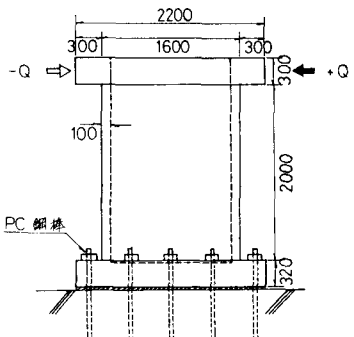


表-1 試験体の諸元と主要実験結果

試験体名	T-1.18	T-1.18A	T-1.80	T-1.18T
配筋方法	Y: 124mm X: 直交2方向 Dø10@124mm 7#アル 121.4mm	Y: 124mm X: 直交2方向 Dø10@124mm 7#アル 121.4mm	Y: 80cm Z: 80cm E: 鋼23号 G: フラット H: 封締丸 I: 10#アル J: 10#アル K: 8.0cm L: 10#アル M: 10#アル N: 10#アル O: 10#アル P: 10#アル Q: 10#アル R: 10#アル S: 10#アル T: 10#アル U: 10#アル V: 10#アル W: 10#アル X: 10#アル Y: 10#アル Z: 10#アル	Y: 124mm X: 直交2方向 Dø10@124mm 7#アル 121.4mm
鉄筋比 P(%)	X: 1.15 Y: 1.15 Z: 23%	X: 0.67 Y: 0.67 Z: 0.47 W: 0.47 228.6%	X: 1.79 Y: 1.79 Z: 358%	X: 0.77 Y: 0.77 Z: 231%
鉄筋の機械的性質 \bar{f}_{sy} (kg)	3757	3757	3757	3757
コンクリートの機械的性質 \bar{f}_{cu} (kg)	297	352	367	287
\bar{f}_{tu} (kg)	258	266	321	241
実験結果	X(横筋) Y(縦筋) Z(斜筋)	684(804) 867(804) —	789(795) 866(795) 60.7(562)	110.4(1246) 1352(1246) —
せん断降伏荷重(ton)	1066	1127	1413	943
$\tau/\sqrt{\bar{f}_{cu}}$	33	32	39	30
破壊時変形角(R)	20/1000*	23/1000	8.4/1000	21/1000

試験体円筒部に作用する

* ()内は計算値 ** 20/1000 2"測定打切り

最大主応力度が使用したコンクリートの割裂引張強 底面(ton)

度の約7割に達した時点ぞひびわれが発生し、荷重の増大に伴はる、て本数・幅とも増加した。ひび割れの発生方向は配筋方向に偏倚なくほぼ45°であつた。ひび割れは鉄筋の降伏耐力に近づくと安定し、平均ひびわれ間隔は大凡鉄筋ピッチに等しかつた。T-1.80を除く試験体は全鉄筋降伏後も荷重を徐々に増加しながら最大耐力に達しコンクリートストラット部が圧壊して破壊した。これに対しT-1.80は、全鉄筋降伏とほぼ同時にコンクリートが圧壊し急激な破壊性状を呈した。T-1.80を除く他の試験体の破壊時のひび割れ幅は3~5mmにも達してあり、負載荷時に発生したひびわれは完全に閉じてゐた。

(2)降伏耐力 鉄筋に財付したひずみゲージによることで確認された鉄筋降伏時の荷重を前報1)および文献2)で提案した計算結果とともに表-1に示す。T-1.18およびT-1.80の場合、計算上両方向の鉄筋が同時に降伏することにはなが、本実験ではすべての試験体で横筋が先に降伏した。この理由は明らかではないが、鉄筋の加工方法および定着方法が縦筋と横筋で異なり、たことが関係しているのではないかと思われる。計算値は、両鉄筋降伏荷重の平均値にほぼ等しく大風盤当り値を示していることがわかる。単位体積当りの鉄筋量が等しい試験体の全鉄筋降伏荷重を比較するとT-1.18-Tが他に比べ約12%小さくなつた。文献2)で提案した計算方法は鉄筋の降伏耐力を精度よく評価しており、多方角配筋の場合に有効な手段であることが示された。

3)変形　図-2は、正載荷時に繰られた荷重-ねじり曲線の包絡線を示している。ひびわれ発生前はコンクリートの剛性と有する弾塑性挙動を示したが、ひびわれが発生すると配筋方法の差が明瞭に現われ、斜筋がひびわれ発生後の剛性に大きく寄与していることがわかる。T-1.18TおよびT-1.18Aは鉄筋比の点でT-1.80とはほぼ同等の剛性を有していた。また、破壊に至るまでの変形量は、T-1.80が $8.4/1000\text{ rad}$ であるのに対し、他は $20/1000\text{ rad}$ 以上できわめてじん性に富んだ挙動を示した。これらのこととは、縦・横2方向配筋で鉄筋量を大きくすることによって、剛性を高めるることは、変形能・破壊モードの点から問題があり、斜筋を含めた配筋方法の検討を行なうことの必要性を示唆しているものと思われる。図-3～5は、配筋方法が異った場合の荷重-ねじり曲線を示している。T-1.18は逆S字形のループを示したのにに対しT-1.18Tは安定した紡錘形のループでT-1.18Aは両者の中間的なループを描いており、耐震性から斜筋を有した配筋方法が有効であることがわかる。

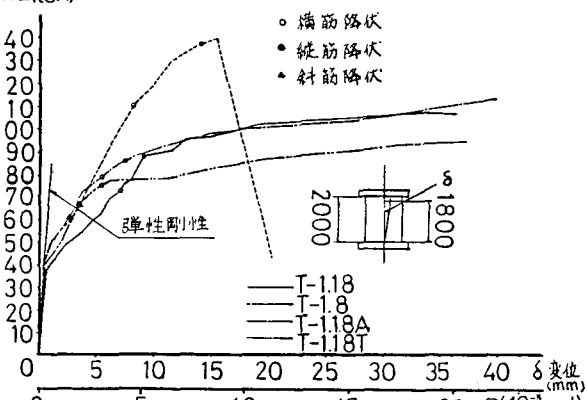


図-2 簡便ねじり曲線の包絡線

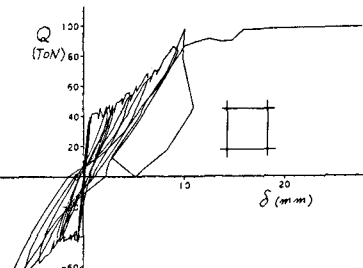


圖-3 Q- δ 曲線 (T-1.18)

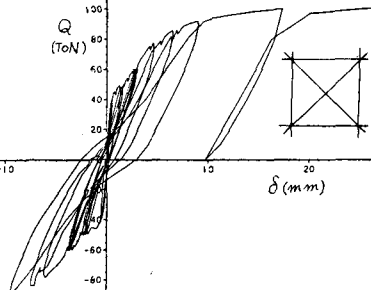


圖-4 Q- δ 曲線 (T-1.18A)

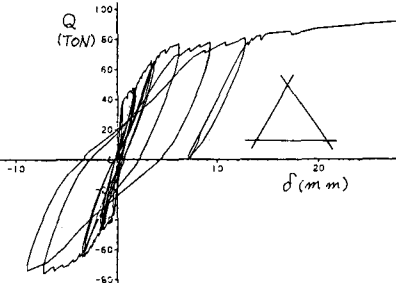


図-5 Q- δ 曲線(T-1.18T)

文献：り面内力を復元する直交配筋されたコンクリートシェル要素の応力・変形解析、内田ら、第36回年講。

2)面内力を受ける三方向配筋されたRCシェル要素の応力・変形解析、篠田ら、第37回年講。